

Я.Н. ЧЕПУРНЫЙ, гл. инж., Институт ионосферы, Харьков;
Г.М. ТИНЯКОВ, вед. инж.-электроник, Институт ионосферы, Харьков

МОДЕЛИРОВАНИЕ РОМБИЧЕСКИХ АНТЕНН ИОНОСФЕРНОЙ СТАНЦИИ “БАЗИС”

Проведено компьютерное моделирование ромбических антенн станции вертикального зондирования ионосферы “Базис” поддиапазонов 1 – 6 МГц и 5 – 20 МГц. Проанализированы полученные технические характеристики. Определена оптимальная частота переключения станции между антенными двух поддиапазонов.

Ключевые слова: вертикальное зондирование ионосферы, ромбическая антenna, компьютерное моделирование.

Введение. Станция вертикального зондирования “Базис” входит в состав радара некогерентного рассеяния (НР) Института ионосферы и предназначена для исследования параметров ионосферы на высотах ниже максимума ионизации [1, 2]. Антенно-фидерное устройство (АФУ) станции состоит из двух приёмных и двух передающих ромбических антенн линейной поляризации. Функциональная схема АФУ приведена на рис. 1.

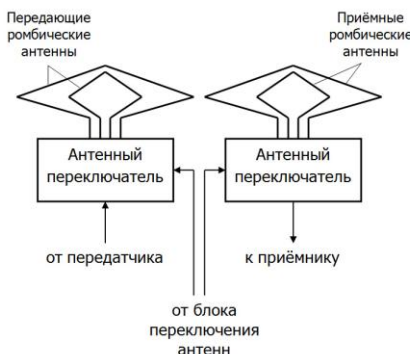


Рис. 1 – Функциональная схема АФУ станции “Базис”

Рабочий диапазон частот 1 – 20 МГц разбит на два поддиапазона: 1 – 6 МГц (большой ромб) и 5 – 20 МГц (малый ромб). Подключение требуемого поддиапазона осуществляется электромеханическими антennыми переключателями. Для увеличения развязки приём – передача приёмные и передающие антенны расположены в пространстве ортогонально. Пространственное расположение антенн приведено на рис. 2. Высота центральной мачты – 24 м. Четыре боковых мачты высотой 13.5 м

© Я.Н. Чепурный, Г.М. Тиняков, 2013

установлены на расстоянии 50 м от центральной. Длины сторон большого ромба – 51 м, малого – 22 м.

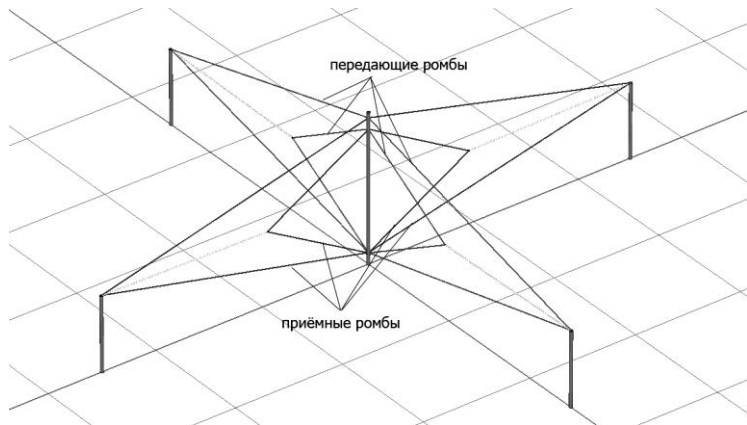


Рис. 2 – Пространственное расположение приёмных и передающих антенн

Подключение приемных и передающих фидеров осуществляется в нижней части ромбов с помощью симметрирующих устройств. В вершине каждого ромба установлено согласующее сопротивление номиналом 600 Ом.

Цель статьи – определение и анализ технических характеристик ромбических антенн двух поддиапазонов, выработка рекомендаций относительно частоты переключения станции с большой ромбической антенны на малую.

Моделирование ромбических антенн проводилось с помощью программы MMANA-GAL Basic, использующей метод моментов [3]. Большой и малый ромб моделировались отдельно. Материал проводов – медь, диаметр всех проводов 6 мм. Модели учитывают отражение от поверхности земли. Земля задана – “реальная”, диэлектрическая проницаемость $\epsilon = 13$, проводимость $\sigma = 5 \text{ мСм/м}$. Конструктивные размеры антенн в моделях соответствуют приведенным в документации, дополнительно проведены их контрольные замеры.

На рис. 3 приведены полученные в результате моделирования частотные зависимости коэффициента стоячей волны по напряжению (КСВН) для большого и малого ромбов. КСВН определялся по отношению к волновому сопротивлению $W = 600 \text{ Ом}$. Для большого ромба КСВН не превышает 2.6 в диапазоне частот 1 – 6 МГц, для малого – КСВН не превышает 1.92 на частотах 5 – 20 МГц. Волнообразный характер кривых КСВН связан с конструктивными размерами сторон большого и малого ромбов, а также влиянием отражений от поверхности земли.

На рис. 4 приведены частотные зависимости коэффициента усиления G большого и малого ромба. Видно, что усиление большого ромба не

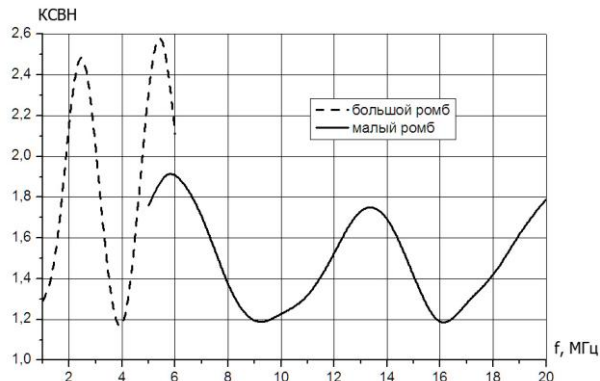


Рис. 3 – Частотная зависимость КСВН ромбических антенн станции “Базис”

превышает 5,5 дБ, а малого 8 дБ. На частоте 5 МГц коэффициенты усиления большого и малого ромбов равны, на участке от 5 до 6 МГц коэффициент усиления большого ромба резко снижается с 2 дБ до -5 дБ. Таким образом, целесообразно проводить переключение антенн с большого ромба на малый на частоте 5 МГц.

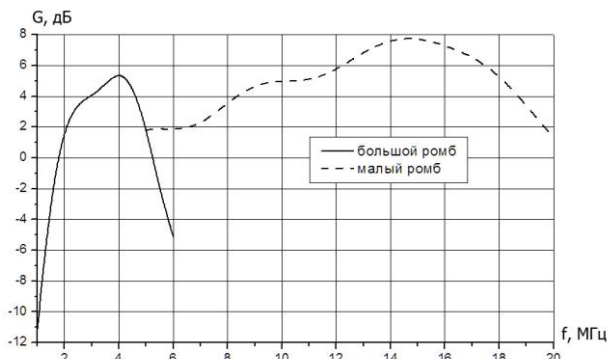


Рис. 4 – Частотная зависимость коэффициента усиления

На рис. 5 и 6 приведены трехмерные диаграммы направленности (ДН) большого и малого ромбов на ряде частот диапазона. Видно, что уменьшение коэффициента усиления в направлении зенита в верхней части каждого из поддиапазонов связано с возрастанием уровня боковых лепестков ДН. Боковые лепестки становятся существенными на частотах выше 4 МГц для большого и выше 12 МГц – для малого ромба.

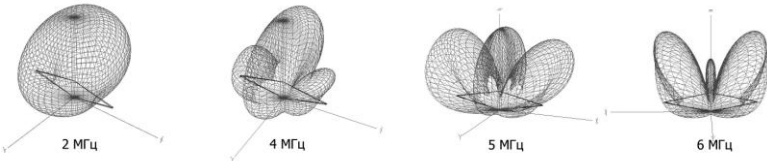


Рис. 5 – ДН антенны “большой ромб”

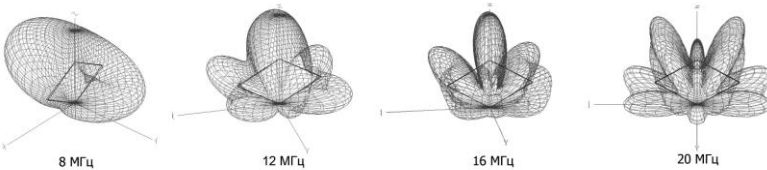


Рис. 6 – ДН антенны “малый ромб”

Выводы. Проведенное компьютерное моделирование позволило определить основные технические характеристики ромбических антенн станции “Базис”. Установлено, что оптимальная частота переключения антенн станции с большого ромба на малый ромб равна 5 МГц.

Список литературы: 1. В.Н. Лысенко, И.Б. Скляров. Перспективы применения ионозонда в составе радара некогерентного рассеяния Института ионосферы // Вестник НТУ «ХПИ». Сборник научных трудов. Тематический выпуск: Радиофизика и ионосфера. – Харьков: НТУ «ХПИ». – 2004. – № 23. – С. 63 – 68. 2. В.В. Барабаш, И.Б. Скляров. Станция вертикального зондирования Института ионосферы. // Вестник НТУ «ХПИ». Сборник научных трудов. Тематический выпуск: Автоматика и приборостроение. – Харьков: НТУ «ХПИ». – 2010. – № 23. – С. 7 – 12. 3. Гончаренко И.В. Антенны КВ и УКВ. Часть 1. Компьютерное моделирование. ММНА - М.: ИП РадиоСофт, 2004 – 128 с.

Поступила в редакцию 19.11.2013

УДК 621.396.677.43

Моделювання ромбіческих антен іоносферної станції “Базис” / Я.Н. Чепурний, Г.М. Тиняков // Вісник НТУ “ХПІ”. Серія: Радіофізика та іоносфера. – Х.: НТУ “ХПІ”, 2013. – № 33 (1066). – С. 25-28. Біблогр.: 3 назв.

Проведено комп’ютерне моделювання ромбічних антен станції вертикального зондування іоносфери “Базис” піддіапазонів 1 – 6 МГц та 5 – 20 МГц. Проаналізовано отримані технічні характеристики. Визначена оптимальна частота перемикання станції між антеннами двох піддіапазонів.

Ключові слова: вертикальне зондування іоносфери, ромбічна антена, комп’ютерне моделювання.

A computer simulation of the rhombic antennas of ionosonde “Basis” for operation in the subbands 1–6 MHz and 5–20 MHz was performed. The obtained antenna specifications were analyzed. The optimal frequency of switching between antennas for two subbands was evaluated.

Keywords: vertical sounding of the ionosphere, the rhombic antenna, computer simulation.